Effect of Ethanol on Maturation and Development of Immatur

Mouse Oocytes

Eimani H., Ph.D.*, Tahaei L.S., M.Sc., Parivar K., Ph.D., Rezazadeh M., Ph.D., Kazemi S., Ph.D., Shahverdi A., M.Sc., Eftekhari P., Ph.D.

* P.O.Box: 19395- 4644, Embryology Department, Royan Institute, Tehran, Iran

Abstract

Purpose: To study the effect of ethanol on resumption of meiosis, maturation and development of immature mouse oocytes in vitro.

Materials and Methods: Immature oocytes were dissected from ovary of NMRI strain mouse (6-8 weeks old) and divided into control and experimental groups. The absolute ethanol was imposed to oocytes at doses of 0 (Control), 0.05, 0.1, 0.2 and 0.4% (v/v) in maturation culture medium (MEM α + 100 mlIU/ml rFSH + 7.5 IU/ml hCG + 5% FCS). After 24 hours the matured oocytes were fertilized with spermatozoa in T6 medium and cultured for 5 days. Maturation and embryo formation observed by invert microscope and the results were considered as categorical variables with Chi- Square tests.

Results: The percentage of resumption of meiosis and Metaphase II (MII) in control and the four experimental groups were 76.18%, 84.81%, 83.10%, 74.54%, 78.93% and 60.98%, 71.79%, 68.17%, 60.08%, 64.52%, respectively. The percentage of the oocytes remained at the Germinal Vesicle (GV) stage were higher in 0.2 % (v/v) ethanol than the other groups (23.8%, 15.1%, 16.8%, 25.4%, 21%). The rate of resumption of meiosis and maturation mouse oocytes between control and experimental groups in 0.05 % (v/v) ethanol (P<0.001) and 0.1 % (v/v) ethanol (P<0.05) were significantly different. At 2-cell stage the rate of embryo formation between control and experimental groups in 0.2 and 0.4 % (v/v) ethanol were significantly different (P<0.001).

Conclusions: The present study indicates that 0.05% (v/v) ethanol as solvent during in vitro culture media has positive effects on in vitro maturation of immature mouse oocytes, but same effects on embryonic development has not been detected. In conclusion it has not an inhibitory effect on embryonic development.

Key words: Ethanol, Oocytes, Mouse, In vitro Maturation

Journal of Iranian Anatomical Sciences, Vol 4, No 17, winter 2007, Pages 367-376

تأثیر اتانل بر بلوغ آزمایشگاهی تخمکهای نارس موش و تکوین جنینهای حاصل از آن

مجتبی رضازاده .Ph.D **** ، مجتبی رضازاده M.Sc *****، کاظم پریور Ph.D**** ، مجتبی رضازاده Ph.D ****** سعید کاظمی آشتیانی .Ph.D*، عبدالحسین شاهوردی .M.Sc*، پوپک افتخاری Ph.D

* گروه جنین شناسی پژوهشکده رویان ** گروه آناتومی دانشکده پزشکی دانشگاه علوم پزشکی بقیهالله *** گروه زیست شناسی جانوری دانشکده علوم پایه دانشگاه آزاد اسلامی واحد علوم و تحقیقات **** گروه آناتومی دانشکده پزشکی دانشگاه تربیت مدرس تاریخ وصول: آبان ماه ۸۵، تاریخ پذیرش: دی ماه ۸۵

چکيده

هدف: بررسی تأثیر اتانل بر از سرگیری میوز و بلوغ آزمایشگاهی تخمکهای نارس موش و تکوین جنینهای حاصل از آن مواد و روشها: تخمکهای نارس موشهای ماده نژاد NMRI در سن ٦ تا ۸ هفتهای از تخمدانها استخراج شد و در گروههای آزمون و گروه کنترل قرار داده شدند. اتانال مطلق در دُزهای صفر (کنترل)، ۰/۰، ۱/۰، ۲/۰ و ۲/۶ درصد (v/v) به محیط کشت (Fetal Calf Serum) FCS و ۲۶۲ ۱۰۰ mllU/ml ، hCG ۷/٥IU/ml حاوی FSH ۱۰۰ mllU/ml ، hCG ۷/٥IU/ml و FCS (vv) به محیط درصد اضافه شدند. پس از گذشت ۲۶ ساعت تخمکهایی که به مرحله متافاز MII (MII) MII) رسیده بودند جدا و با اسپرم در محیط T6 لقاح داده شدند و به مدت ۵ روز کشت شدند. فرایند بلوغ و تشکیل جنین توسط میکروسکوپ معکوس مشاهده و نتایج حاصل با آزمون آماری Chi-Square بررسی شد.

یافتهها: در گروه کنترل و چهار گروه آزمایشی درصد از سرگیری میوز به ترتیب (۸۲/۱۸، ۸٤/۸۱، ۷۲/۱۵، ۷۷/۷۶، ۷۸/۹۳) و بلوغ تخمک (۲۰/۹۸، ۲۱/۷۹، ۲۸/۱۷، ۲۰/۸۲، ۲۵/۵۲) بود. میزان بلوغ واز سرگیری میوز در گروههای آزمایشی ۰/۰۵ درصد (۵.001) و ۱/۱ درصد(v/۷) اتانل (p<0.05) نسبت به گروه کنترل افزایش معنیداری داشت. درصد شکلگیری جنینهای ۲ سلولی در گروههای آزمون۲/۱ و ۲/۰ درصد (v/۷) اتانل نسبت به گروه کنترل کاهش معنیداری را نشان داد(p<0.001).

نتیجه گیری: نتایج حاصل از این مطالعه نشان داد که بهکارگیری اتانل در دُز ۰/۰۵ درصد (v/v) به عنوان حلال بر بلوغ تخمکهای نارس موش تأثیر مثبت دارد اما بر تکوین جنینی تأثیر مشابه دیده نَشد. در نتیجه استفاده از این دُز بر تکوین جنینی تأثیر منفی ندارد. **کلید واژهها:** بلوغ اَزمایشگاهی، موش، تخمک، اتانل

صم آدرس مکاتبه: تهران، گروه جنینشناسی، پژوهشکده رویان،

صندوق پستی: ٤٦٤٤– ١٩٣٩٥

E-mail: Eimanih@yahoo.com

مجله علوم تشریح ایران، سال چهارم، شماره ۱۷، زمستان ۸۵ ، ۳۷٦– ۳٦۷

یروتئینهای ضروری برای GVBD را فسفریله میکند. فسفريلاسيون مداوم پروتئينها توقف تخمك در ميوز را حفظ میکند. از سرگیری میـوز بـا کـاهش سـطوح داخـل سـلولی cAMP بهواسطه فسفودي استراز cAMP آغاز مي شود. فسفودي استراز cAMP ارتباط بين سابيونيتهاي كاتاليك پروتئین کیناز A را با سابیونیتهای تنظیمی آن برقـرار کـرده و اجازه نمی دهد PKA عمل فسفوریلاسیون را انجام دهد. پروتئینهای تخمک دفسفوریله شده و میوز دوباره از سرگرفته می شود [۹]. وجود کلسیم نیز برای ادامه دادن و تکمیل میـوز در تخمکهای در حال بلوغ در محیط کـشت ضـروری اسـت. فعاليت كلسيم درون تخمك از طريق مسير فسفواينوزيتول (IP3) أغاز میشود و GVBD توسط کلسیم میانجیگری می شود، IP3 متابولیزه شدن ذخیرههای کلسیم داخل تخمکی را تحریک می کند. کلسیم آزاد، فسفودی استراز cAMP را فعال میں کند در نتیجہ غلظت cAMP کاهش می یابد و GVBD آغاز می شود[٤]. در روشهای آزمایـشگاهی کـشت جنین از اتانل به عنوان یک حلال بـرای ترکیبـات دارویـی بـا حلالیت پایین یا غیرقابل حل در آب همچون رتینوئیدها استفاده میشود که تأثیر تحریکی پایینی روی تخمکهای گاوی نشان میدهد [۱۰]. افزودن اتانل و سایر الکلها در یک دوره و زمان خاص و در پروتکلهای انجماد جنین و تخمک، در غلظتهای بسیار بالایی به کار میرود (۲۵ ـ ۱۲ درصد) [۱۱]. این احتمال وجود دارد که اتانل روی تنظیم کنندگان متصل به غشاء ازطریق فعالیت کانالهای کلسیم _ پتاسیم مانند G پروتئينها [١٢]، پروتئين كينازها يا فسفاتازها [١٣]، حالت ردوکس [۱٤]، لیپیدها [۱۵] و فسفولیپیدهای غشایی [۱۲] تحت تأثير قرار دهد و به اين ترتيب بـر بلـوغ تخمـک تـأثير بگذارد. اگرچه بهطور معمول استفاده از دُزهای بالای اتانل بر تكوين جنين مضر است، توجه كمي به اين مطلب شده است که غلظتهای کم موجود در محیط کشت می تواند به عنوان یک

369

مقدمه

تمام تخمکها از دوران جنینی در پروفاز تقسیم میوز یک متوقف شدهاند و نارس هستند. با قرارگرفتن این تخمکها در محیط کشت، روند تقسیم مجدداً فعال می شود و یے از طبی ساعاتی میوز از سر گرفته میشود و با رسیدن به مرحلهٔ متافاز II بلوغ يافته، قابليت باروري پيدا ميكنند [١]. بلـوغ تخمـك شامل يک سلسله جريانات پيچيده از فسفوريلاسيون و دپلاریزاسیون است [۲ و ۳]. کلید اصلی کنترل کننده اتفاقات پی درپی و پیوسته وقایع میوز با دو پروتئین کیناز مهم MAP^۱ و MPF است. MPF کیناز یک فاکتور سیتوپلاسمی است که هم در سلولهای میوزی و هم در سلول های میتوزی یافت میشود. ظاهراً MPF کیناز، تـراکم کرومـوزوم و شکـست پوشش هسته را تنظیم میکند و به نظر میرسد که تـشکیل MPF کیناز، مستقل از فعالیت هستهای باشد[٤]. MAP کینازها در تخمکهای مرحله ژرمینال وزیکل وجود دارنـد کـه فعالیت قابل توجه شان در بلوغ تخمکهای متافاز MI^۳ردیابی شده و تا مرحلهٔ متافاز II حفظ شده است. نقـش آبـشاری MAP کیناز، در بلوغ تخمک در خوکها گزارش شده است. [0] MPF و MAP كينازها سبب خورد شدن حباب زاينده (GVBD)¹ تخمکهای گاو [۲]، بز [۷] و خوک [۵] می شوند. بلوغ تخمك نارس مستلزم بلوغ همسته و بلوغ سيتوپلاسمي است[٨]. فرآيند بلوغ سيتوپلاسم، بهعنوان يک پديـده مـستقل اتفاق می افتد که در آن میزان RNA ذخیره شده و پروتئینها افزایش یافته و میزان cAMP داخل سیتوپلاسمی سلول کاهش می یابد. افزایش یا حفظ سطوح بالای cAMP در تخمکها مانع از سرگیری میوز میشود. cAMP در داخل تخمک PKA (افعال میکند. Protein Kinas A) افعال میکند.

1. Mitogen Activated Protein

^{2.} Maturation Promoting Factor

^{3.} Metaphase I

^{4.} Germinal Vesicle Breakdown

ناقل برای فاکتور رشد معین، هورمونها و یا ظرفیت دهنده میوزی باشد [۱۷]. در این مطالعه تأثیر الکل اتانل (به عنوان حلال) در چند دُز مختلف بر رونـد بلـوغ آزمایـشگاهی و از سرگیری میوز تخمکهای نارس موش و تکوین جنینهای حاصل از لقاح آن بررسی شد.

مواد و روشها

تهیه تخمکهای نارس

در این تحقیق از موشهای نژاد NMRI در سن ٦ تا ۸ هفتهای تهیه شده از انستیتو پاستور (ایران) استفاه شد. موشهای ماده به روش جابهجایی مهرههای گردنی کشته شده و تخمدان آنها در شرایط استریل از بدن خارج و پس ازانتقال به درون قطرات ۲۰۰ میکرولیتری محیط کشت -MEM- α, Sigma, M (FCS, Gibco, 10270-106) حاوى MEM-α (Eagle 0644) FCS ۵ درصد، چربیهای اضافی اطراف تخمدان حذف و سپس به درون قطرات ۳۰۰ میکرولیتری انتقال داده شد. تخمدانها با استفاده از سرنگهای انسولین تشریح شده (Dissect) و تخمکهای نارس حاوی ژرمینال وزیکول همراه با سلولهای گرانولوزا جدا شد. سپس با روش پیپت کردن سلولهای گرانولوزای اطراف آن برداشته شد. (حباب زاینده) تخمکهای نارس هستهدار (Germinal Vesicle; GV) با سيتوپلاسم روشن، قشر شفاف (ZP; Zona Pelucida) یکنواخت با فضای پیش زردهای (Perivettline) مناسب مطابق گروههای زیر انتخاب شدند.

بلوغ تخمك

گروه کنترل: ٤٨٧ تخمک نارس از موشهای طبیعی گرفته شده و در محیط MEM-۵ حاوی FCS ۵ درصد، IU/ml او در محیط

مجله علوم تشريح ايران، سال چهارم، زمستان ٨٥

لقاح و تکوین تخمکهای بالغ شده

و rFSH ۱۰۰ml IU/ml، قرار داده شدند.

rFSH ، ۰/۰۵ ، rFSH اتانل قرار داده شدند.

rFSH ، ۱/۱ ، درصد (v/v) اتانل قرار داده شدند.

rFSH ، ۲/۰ درصد (v/v) اتانل قرار داده شدند.

rFSH ، rFSH ، درصد (v/v) اتانل قرار داده شدند.

گروه آزمون یک: ۵۰۷ تخمک نارس در محیط MEM-α

گروه آزمون دو: ۵۰۹ تخمک نارس در محیط MEM-α

گروه آزمون سه: ٤٩١ تخمک نارس در محیط MEM-α

گروه آزمون چهار: ٤٥١ تخمک نارس در محیط MEM-α

تخمکهای هر گروه به مدت ۲٤ ساعت در داخل

انکوباتور ۳۷ درجه سانتی گراد با CO₂ ۵ درصد قرار داده

شدند و سپس با ميکروسکوپ معکوس، مراحل بلوغ

آزمایشگاهی و از سرگیری میوز در تمام گروهها بررسی شد.

تخمکهای بدون تغییر شکل در هسته را بهعنوان GV،

تخمکهای با هسته شکسته شده بهعنوان GVBD با نشانه

شروع تقسیم میوز و تخمکهای بالغ یا MII شناسایی شدند.

حاوی FCS ۵ درصد، hCG ۷/٥IU/ml و hCG ۷/٥IU/ml

حاوی FCS ۵ درصد، hCG ۷/٥IU/ml و hCG ۷/٥IU/ml

حاوی FCS ۵ درصد، hCG ۷/٥IU/ml و ۲۲۰۰mlIU/ml

حاوی FCS ۵ درصد، hCG ۷/٥IU/ml و hCG ۲/٥IU/ml

ابتدا موشهای نژاد NMRI بهروش جابهجایی مهرههای گردنی كمشته شدند دم اپيديمديم أنهما جدا و به قطرات ٥٠٠ میکرولیتری محیط کشت T6 حاوی ۱۵ میکروگرم سرم آلبومين گاوي(BSA, Sigma, A-3311) ^۲ درهر ميلي ليتر منتقل شدند. سپس نمونهها به مدت ۱ ساعت در داخل انکوباتور ۳۷ درجه سانتی گراد حاوی CO₂ ۵ درصد انکوب شدند. با انتقال اسپرمهای فعال و سالم از کنارهٔ قطره (در هر میلی لیتـر

Archive of SID

^{1.} Fetal Calf Serum

^{2.} Bovine Serum Albumin

تخمک بالغ شده در آزمایشگاه با اسپرمهای موش نر مجاور شدند. در گروه آزمون دو، از ۵۰۹ عدد تخمک نارس پس از گذشت ۲۵ ساعت در ۱۹/۸ درصد آنها هیچ نشانی از علائم بلوغ دیده نشد. از سرگیری میوز در ۱۳/۱۰ درصد تخمکهای نارس مشاهده شد که از این میزان در۱۶/۹ درصد آنها هسته شکسته شد و ۱۸/۱ درصد تخمکها تا مرحله MII پیشرفته و بالغ شدند که از نظر آماری با گروه کنترل اختلاف معنی داری داشت (p<0/05) ولی با گروه آزمون یک در بلوغ و از سرگیری میوز تفاوت معنی دار مشاهده نشد. ۲۵۲ عدد تخمک بالغ شده در آزمایشگاه با اسپرمهای موش نر مجاور شدند.

در گروه آزمون سه ، از ٤٩١ تخمک نارس پس از گذشت ۲۶ ساعت ۲۵/٤۵ درصد آنها هیچ نشانی از علائم بلوغ دیده نشد. از سرگیری میوز در ۷٤/٤ درصد تخمکهای نارس مشاهده شد که از این میزان در ۱٤/٤٦ درصد آنها هسته شکسته شد و ۲۰/۰۸ درصد تخمکها تا مرحله MII پیشرفته و بالغ شدند که از نظر آماری در بلوغ واز سرگیری میوز با گروه کنترل وآزمون چهار ودو اختلاف معنی داری نداشت. همچنین در بلوغ وازسرگیری میوز نسبت به گروه آزمون یک، اختلاف معنی داری داشت (۵۰۵0). ۲۱۵ عدد تخمک بالغ شده در آزمایشگاه با اسپرمهای موش نر مجاور شدند.

در گروه آزمون چهار، از ٤٥١ تخمک نارس پس از گذشت ۲٤ ساعت در ۲۱/۰٦ درصد آنها هیچ نشانی از علائم بلوغ دیده نشد .از سرگیری میوز در ۷۸/۹ درصد تخمکهای نارس مشاهده شد که از این میزان در ۱٤/٤۱ درصد آنها هسته شکسته شد و ۲۵/۵۲ درصد تخمکها تا مرحله MII پیشرفته و بالغ شدند که از نظر آماری با گروه کنترل، آزمون یک ، دو و سه اختلاف معینیداری مشاهده نشد. در از سرگیری میوز با هیچ یک از گروهها اختلاف معنیداری مشاهده نشد. ۲۱۹ عدد تخمک بالغ در آزمایشگاه با اسپرمهای موش مجاور شدند. (به جدول شمارهٔ ۱ و ۲ و شکلهای ۱ و ۲ مراجعه شود.) ^۲ ۱۰×۲-۱ عـدد اسـپرم) بـه داخـل قطـرات T6 حـاوی ۱۵ میلی گرم بر میلی لیتر BSA، تخمکهای بالغ شده نیـز بـه قطـره منتقل شدند. تخمکها پس از ۲-٤ ساعت از محیط فعلی بـه قطرههای محیط T6 حاوی ٤ میلی گرم بر میلی لیتر BSA منتقل شـدند. وضـعیت تخمکها پـس از ۲۶ ، ۲۸ ، ۹۲ ، ۹ و ۱۲۰ ساعت بـهوسـیله میکروسکوپ معکـوس بـرای ثبـت مراحل تکوین جنین مشاهده و نتایج حاصل با آزمـون آمـاری Chi-Square

يافتهها

در این مطالعه ۲٤٤۵ تخمک نارس و سالم از تخمدان موشهای نژاد NMRI جدا شده و بهطور کاملاً تصادفی به یک گروه کنترل و چهار گروه آزمایشی اختصاص داده شد.

در گروه کنترل، ٤٨٧ تخمک قرار داشت که پس از گذشت ٢٤ ساعت در ٢٣/٨ درصد آنها نشانی از علائم شروع میوز دیده نشد. از سرگیری میوز در ١٥/١٩ درصد تخمکهای نارس مشاهده شد که از این میزان ١٥/١٩ درصد آنها دارای هسته شکسته و ٦١ درصد تخمکها تا مرحله MII پیشرفته و بالغ شدند. تعداد ٢١٠ عدد از تخمکهای بالغ شده گروه کنترل در آزمایشگاه با اسپرمهای موش نر همان نژاد مجاور شدند که از این میزان لقاح و وضعیت تکامل تخمکهای بارور شده در جدول آمده است. میزان بلوغ و از سرگیری میوز بین گروه کنترل و گروههای آزمون مورد بررسی قرار گرفت که از این قرار است:

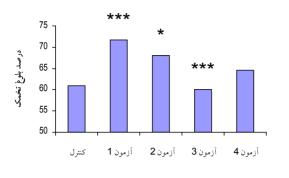
در گروه آزمون یک ، از ۵۰۷ عدد تخمک نارس پس از گذشت ۲٤ ساعت در ۱۵/۱ درصد آنها هیچ نشانی از علائم بلوغ دیده نشد. از سرگیری میوز در ۸٤/۸۱ درصد تخمکهای نارس مشاهده شد که از این میزان در ۱۳ درصد آنها هسته شکسته شد و ۷۱/۷ درصد تخمکها تا مرحله MII پیشرفته و بالغ شدند که از نظر آماری با گروه کنترل در از سرگیری میوز و بلوغ تفاوت معنیداری داشت (۵.00)

Journal of Iranian Anatomical Sciences, Vol 4, Winter 2007



گروههای مورد مطالع شکل ۱. مقایسهٔ از سرگیری میوز درگروه کنترل و گروههای آزمایشی، گروه کنترل بدون اتانل، گروه آزمون ۱) ۰/۰۰ درصد اتانل، گروه آزمون ۲)۰/۱ درصد اتانل، گروه آزمون ۳) ۰/۲ درصد و کنترل معنی دار است

(p<0.05) = *)، اختلاف بین گروههای آزمون یک و کنترل و گروههای یک و سه معنیدار است(p<0.001) : ***)



گروههای مورد مطالعه

شکل ۲. مقایسهٔ بلوغ تخمک در گروه کنترل و گروههای آزمایشی، گروه کنترل بدون اتانل، گروه آزمون۱) ۰۰/۰ درصد اتانل، گروه آزمون ۲) ۰/۱ درصد اتانل، گروه آزمون ۳) ۲/۰ درصد اتانل، گروه آزمون٤) ۰/۶ درصد اتانل، اختلاف بین گروه آزمون ۲ و کنترل معنیدار است (p<0.05) = *). اختلاف بین گروههای آزمون یک و کنترل و

(0.03) p = 0)، الحکارک بینی دروشهای از رسون یک و کلترن و گروههای یک و سه معنیدار است(p<0.001 : ***)

	باعت کشت	پس از ۲٤ س	دُز مصرفي	تعداد	روند بلوغ		
تعداد MII+ GVBD (٪)	تعداد MII (/.)	تعداد GVBD (٪)	تعداد GV (٪)	اتانل درصد اتانل درصد (v/v)	تخمک نارس	گروهها	
٣٧١	79V	٧٤	١١٦				
(V7/1A)	(17)	(10/7)	$(\Upsilon) \wedge)$	٠	٤٨٧	كنترل	
^{a***} ٤٣۰	^{a***} ۳٦٤	٦٦	VV			آزمون	
(45/41)	(V1/V)	(13)	(10/1)	•/•0	٥٠٧	١	
^{a*} £7٣	^{a*} ٣٤٧	V٦	٨٦			آزمون	
(14/1.)	(14/1)	(12/9)	(<i>\\</i> /A)	•/١	٥٠٩	٢	
^{b***} ٣٦٦	^{b***} ۲۹٥	٧١	170			آزمون	
(V٤/٥٤)	(٦•/•٨)	(12/27)	(70/20)	٠/٢	٤٩١	٣	
307	291	٦٥	90			آزمون	
(VA/93)	(75/07)	(12/21)	(۲۱/•٦)	•/٤	٤٥١	٤	

جدول ۱. مقایسه بلوغ آزمایشگاهی تخمکهای نارس موش درمحیط MEM-α حاوی MIU/ml، hCG V/oIU/ml حاوی MEM-α

۱۰۰ rFSH و BFCS درصد، گروه کنترل وگروههای آزمایشی اتانل با درصد های مختلف (v/v)

GV: حباب زاینده (تخمک نارس هستهدار)، GVBD: حباب زایندهٔ خورد شده، MII: تخمک در مرحلهٔ متافاز GVBD + MII، II : از سرگیری میوز،

a: اختلاف با گروه کنترل معنیدار است، b: اختلاف بین گروه آزمون ۱ با ۳ معنیدار است

مجله علوم تشريح ايران، سال چهارم، زمستان ۸۵

Archive of SID

			(\mathbf{v}/\mathbf{v})			
آزمون ٤	آزمون ۳	آزمون ۲	آزمون ۱	كنترل	گروهها	روند بلوغ
719	710	727	700	۲۱.		
(%)	('/.)	('/.)	(%)	('/.)	<i>عاور شد</i> ه با اسپرم	تعداد MII مج
^{a**} 99	^{a***} ∧V	1 2 9	107	181	۲ سلولى	۲٤ ساعت پس از لقاح
(20/7.)	(٤•/٤٦)	(71/07)	(٦.)	(V/1E)		
17.	١٢٨	٩٣	١٠٣	٦٩	جنینهای متوقف شده	
(0£/V9)	(09/07)	$(\Upsilon A/ \Sigma \Upsilon)$	(2./49)	(٣٢/٨٥)		
^a **V	a* ٣٣	٦.	٦٠	٤٩	٤ سلولى	٤٨ ساعت پس از لقاح
(17/29)	(10/82)	(72/19)	(17/07)	(۲۳/۳۳)		
171	171	187	190	ודו	جنینهای متوقف ودژنره شده	
(11/1.)	(10)	(V0/Y·)	(VI/EV)	(/1/11)		
۲۷	۲۳	٣٣	٣٦	۲۸		۷۲ ساعت پس از لقاح
(17/87)	(1•/٦٩)	(17/77)	(12/11)	(1٣/٣٣)	۸ سلولى	
197	197	7.9	719	١٨٢	جنینهای متوقف ودژنره شده	
$(\Lambda V / \Im V)$	(14/5.)	(/1/17)	(AO/AA)	(/1/11)		
١٣	۲.	22	۲۳	١٩		۹٦ ساعت پس از لقاح
(0/98)	(٩/٣٠)	(٩/•٩)	(٩/•١)	(٩/•٤)	مورولا	
۲.0	190	44.	737	191	جنینهای متوقف ودژنره شده	
(٩٣/٦.)	(9•/٦٩)	(٩•/٩•)	(q./qA)	(9./90)		
١٦	١٦	١٨	77	١٩		17.
(٧/٣٠)	(V/££)	(V/ET)	(9/•1)	(٩/•٤)	بلاستوسيست	
۲.٣	١٩٩	225	737	191	جنينهاي متوقف	ساعت
(97/79)	(97/00)	(97/07)	(q•/qA)	(9./90)	ودژنره شده	س ازلقاح

جدول ۲: مقایسه تکوین آزمایشگاهی تخمکهای نارس موش در محیط T6، گروه کنترل وگروههای آزمایشی اِتانل با درصدهای مختلف

MII: تحمك در مدحلة متافاز II، a، اختلاف با گروه كنترل معنى دار است

***: p<0.001; **: p<0.01; *: p<0.05

بمث

در این مطالعه تأثیر اتانل به عنوان حلال با غلظتهای مختلف، صفر، ۰/۰۵ ، ۰/۱، ۲/۰ و ۱/۶ درصد در بلوغ آزمایشگاهی تخمک نارس موش بررسی شد. تأثیر اتانل بر روی بلوغ و تکوین جنینی باید در یک طیف فیزیولوژیکی تخمینزده شود چرا که غلظت بالای آن نه تنها در پیشرفت میوز و بلوغ تخمکها تأثیر مثبت ندارد بلکه باعث کاهش رشد در مرحله

تکوین جنینی نیز می شود. به طوری که محیط حاوی اتانیل ۱ و ۲ درصد تأثیر منفی در بلوغ هسته ای تخمکهای گاوی را پس از گذشت ۲۵ ساعت نشان می دهد [۱۸]. به نظر می رسد به کارگیری غلظته ای مختلف اتانل در مراحل مختلف جنینی رفتار متفاوتی را از خود بروز می دهد که این تأثیرات وابسته به دُز مصرفی می باشد. اتانل به عنوان یک داروی توانمند با خاصیت آمفو فیلیک است که می تواند به خوبی هیدر و فوبیکها

Journal of Iranian Anatomical Sciences, Vol 4, Winter 2007

Archive of SID

با باز شدن کانال کلسیمی آندوپلاسمی وارد و پتاسیم خارج می شود [٤]. فعالیت کانالهای کلسیمی سلول یا کلسیم درون سلولی بالا رفته، افزایش می یابد [٢٥]. احتمال می رود که اتانل کانالهای کلسیم وابسته به پتاسیم را به وسیله افزایش حساسیت کانال به ولتاژ یا کلسیم درون سلولی فعال کند [٢٦ و ٢٧]. اتانل می تواند فعالیت کانالهای یونی هسته را به وسیله اثر متقابل گلیسین و رسپتورهای گاما آمینوبوتیک اسید A تنظیم کند [٢٩–٢٨]. از طرفی باعث تغییر مورفولوژی میتوکندری کبد و سلولهای پانکراس به وسیله بازآرایی غشاءهای بینابینی یا القای میتوکندریهای غولییکر می شود [۳۰].

علیرغم اینکه مطالعه حاضر براساس مورفولوژی هسته تخمک و تکوین جنینی است، به نظر میرسد که استفاده از اتانل در دُز پایین، از طریق کانالهای وابسته به کلسیم و G پروتئینهای غشایی اعمال اثر میکند. نتایج حاصل از این پژوهش ثابت میکند که اتانل با غلظت ۰/۰۵ درصد بر از سرگیری میوز و بلوغ آزمایشگاهی تخمک نارس موش و تکوین جنینهای حاصل، تأثیر منفی ندارد .

تقدير و تشكر

کلیه هزینههای طرح حاضر از بودجه طرح بلوغ تخمک معاونت پژوهشی پژوهشکده رویان تأمین شده است. برخود فرض میداریم که تشکر خود را از آقایان دکتر بهاروند، فاخری و پاکزاد و خانمها حسنی و دالمن به خاطر همکاری صمیمانه درتمام مراحل انجام تحقیق و سرکار خانم نبوی جهت انجام امور آنالیز آماری اعلام داریم.

References

- 1. Bavister BD. Oocyte maturation and in vitro fertilization in the Smokey. In Stouffer. RL (ed). The Primary Ovary. Plenum Press, New York, 1987; pp119-37.
- 2. Levesque JT, Sirard MA. Effects of different kinases and phosphatases on nuclear and

و هيـدروفيليكها، واكـنش دهـد. اتانـل خاصـيت فيزيوشـيمي غشاهای بیولوژیکی را تغییر میدهد، که این تغییر روی باندهای غشایی بوده و سبب فعالیت آنزیمهای متصل شونده به غشاء می شود و میزان cAMP را تغییر می دهد [۱۹]. P42MAP کیناز، P38MAP کیناز و JN کیناز، یک خانوادہ ازيروتئين كينازهاي سرين/ترئونين هستند كه فعاليتشان بخشي از پاسخ اولیه به انواعی از تحریکات ضروری در رشد سلول، تغییر شکل ، تمایز و مرگ سلولی است [۲۰]. MAP کیناز پیام بلوغ را از سیتوپلاسم به هسته تخمک میانجیگری میکند و شروع مجدد ميوز را القاء مينمايد. اتانيل حاد فعاليت P42/44 MAP كيناز، P38 MAP كيناز و JN كيناز را بهوسيله آگونیستهای مختلف در سلول های کبدی رت کشت شده تمدید میکند، در حالی که مصرف اتانل مزمن بهطور قابل توجهي مانع فعاليت P42/44MAP كيناز، P38MAP كيناز و JN كيناز القاء شده بهوسيله هپاتكتومي جزئي يا بهوسيله آگونیستهای مختلف میشود [۲۱]. اتانل برای تمدید فعالیت القاء شده أگونيستP42/44MAP كيناز به وسيله يك مکانیسم وابسته به G پروتئین میانجیگری میشود [۲۲]. و تعدادی از آنزیمها را به وسیله مکانیسم وابسته به G پروتئین فعال میکند. اگرچه طبیعت تأثیر اتانل روی عملکرد G پروتئین به خوبی درک نشده است، ولی عقیده بر این است که اتانل می تواند عملکرد و بیان G پروتئین را تحت تأثير قرار دهد [٢٣]. اتانل حاد مي تواند بـههـم ريختگيهـايي درتركيب، ترتيب و اجزاء غشاء القاء كند [٢٤]. كلسيم از دیگر ارکان تکمیل میوز در تخمکهای درحال بلوغ است که به واسطه وجود G پروتئین های غشایی و از طریق مسیر IP3

cytoplasmic maturation of bovine oocytes. Mol Reprod Dev1995; 42: 114-21.

- **3.** Levesque JT, Sirard MA. Resumption of meiosis is initiated by the accumulation of cyclin B in bovine oocytes. Biol Reprod1996; 55: 1427-36.
- 4. Asem Anwar MD. In vitro maturation of oocytes a

مجله علوم تشريح ايران، سال چهارم، زمستان ٨٥

Review artial 2002; 1-70.

- Inoue M, Naito K, Kakayama T, Sato E. Mitogen activated protein kinase translocates in to germinal vesicle and induces germinal vesicle break down in porcine oocytes. Biol Reprod 1998; 58: 130-6.
- 6. Fissore RA, He Cl, Vande Woude GF. Potential role of mitogen activated protein kinase during meiosis resumption in bovine oocytes. Biol Reprod1996; 55: 1261-70.
- Dedieu T, Gall L, Crozet N, Sevellec C, Ruffine S. Mitogen activated protein kinase activity during goat oocyte maturation and the acquisition of meiotic. Mol Reprod Dev1996; 45: 351-8.
- **8.** Corturindt r, Smitz J, Vansteirteghem. A morphological and functioned study of the effect of slow freezing followed by complete in vitro maturation of primary mouse ovarian follicle. Hum Reprod II 1996; 12, 2648-55.
- **9. Van Blerkom J, Bell H**: Regulation of development in the fully grown mouse oocyte: Chromosomal mediated temporal and spatial differentiation of the cytoplasm and the plasma membrane. J Exbyo Exp Morph 1998; 93: 213-38.
- **10. Hidalgo CO, Diez C**. Pregnancies and improved early embryonic development with bovine oocytes matured in vitro with 9-cis- retinoic acid. Reproduction 2003; 125, 416-9.
- 11. Vajta G, Holm P, Kuwayama H, Booth PJ, Jacobsen H, Greve T, Callesen H: A new way to avoid cryoinjuries of mammalian ova and embryos: the OPS verification. Mol Reprod Dev 1998; 51: 53-8.
- **12. Mullikin-Kilpatrick D, Mehta ND, Hildebrandt JD, Tveistman SN.** Gin is involved in ethanol inhibition of L-type calcium channels in undifferentiated but not differentiated PC-12 cells. Mol Pharmacology 1995; 47: 997-1005.
- **13. Reinhardt PH, Chung S, Martin BL, Brautingan DL, Levitan IL.** Modulation of calcium activated potassium channels from rat brain by protein kinase A and phosphates 2A. J Neurosc;1991; 11: 1627-35.
- 14. Lee S, Park M, So I, Earn YE. NADH and NAD modulates Ca⁺⁺ activated K⁺ channels in small pulmonary smooth muscle cells of the rabbit. Plungers Arch 1994; 427: 378-80.
- **15. Abadji V, Raines DE, Dalton LA, Miller KW.** Lipid-protein interactions and protein dynamics in vesicles containing the nicotine acetylcholine receptor: A study with ethanol. Biochim Biophys

Acta 1994; 1194: 25-34.

- **16. Barry JA, Gawrich K.** Direct NMR evidence for ethanol binding to lipid water interface of phospholipids bilayers. Biochemistry 1994; 33: 8082-8.
- 17. Avery B, Hay Schmidt A, Hyttel P, Greve T. Embryo development, oocyte morphology and kinetics of meiotic maturation in bovine oocytes exposed to 6-dimethyl aminopurine prior to in vitro maturation. Mol Reprod Dev 1998; 50: 334-44.
- **18.** Avery **B**, Greve **T**. Effects of ethanol and dimethyl sulphoxide on nuclear and cytoplasmic maturation of bovine cumulus oocyte complexes 2002; 55: 438-45.
- **19. Klemm WR.** Biological water and its role in the effects of alcohol. Alcohol 1998; 15: 249-67.
- **20. Wood D, Parry D, Cheruniski H, Bosch E, Lees E, McMahon M.** Raf-induced proliferation or cell cycle arrest is determined by the level of raf activity with arrest by p 21^{cipl}.
- **21.** Chen, J. Ishac, EJ N, Dent P, Kunos G, Gao, B. Effects of ethanol on mitogen-activated protein kinase and stress-activated protein kinase cascades in normal and regenerating liver. Biochem. J. 1998; 334, 669-76.
- 22. Della Rocca GJ, biesen TV, Daaka Y, Luttrell DK, Luttrell LM, Lefkowitz RJ. Ras-dependent mitogen-activated protein kinase activation by G protein-coupled receptors. J.. Biological Chemistry, 1997; 272:No.31, 19125-19132.
- 23. Klinker JF, Lichtenberg B, Damm H, Rommel spachir H. Activation of pertussis toxin-sensitive G-proteins in membranes of SH-SY5Y human neuroblastoma cells and bovine transducin by ethanol. Neurosci Lett. 1996 Jul 26;213(1):25-8
- 24. Wang DC, Taraschi T, Rubin E, Janes N. Configuration entropy is the driving force of ethanol action on membrane architecture. Biochimica et biophysics acta. 1993; 1145: 141-8.
- Latorre R, Oberhauser A, Labarco P, Alvarez
 O. Varieties of calcium activated potassium channels. Annul Rev physiology 1989; 51: 385-99.
- **26. Wang G, Thorn P, Lemos JR.** A novel large conductance ca₊₊ activated potassium channel and current in nerve terminals of the rat neurohypophysis. J Physiology 1992; 457: 47-74.
- **27. Dopico A, Anatharam V, Treistman SN.** Ethanol increases the activity of Ca⁺⁺ dependent K⁺ (mslo) channels. Functional interaction with cytosolic Ca^{++.} J Pharm Exp Ther 1998; 284: 258-68.

- **28. Mascia MP, Mihic SJ, Valenzuela CF, Schofield PR, Harris RA.** A single amino acid determines differences in ethanol actions on strychnine – sensitive glycine receptors. Mol Pharmacol. 1996; 50: 402-6.
- 29. Ye Q, Koltchine V, Mihic SG, Mascia MP, Wick MJ, Finn SE, Harrison NL, Harris RA. Enhancement of glycine receptor function by

ethanol is inversely correlated with molecular volume at position alpha 267. J Biol Chem1998; 273: 3314-9.

30. Tandler B, Horne WI, Brittenham GM, Tsukamoto H. Giant mitochondria induced in rat pancreatic exocrine cell by ethanol and iron. Anot Rec1996; 245: 65-75.